

외끌이 機船底引網의 展開性能에 관한 模形實驗

辛鍾根* · 李珠熙** · 吳熙國*

* 國立水產振興院 ** 釜山水產大學

(1988년 2월 10일 접수)

A Model Experiment on the Sheering Efficiency of Danish Seine Net

Jong-Kun SHIN*, Ju Hee LEE** and Hee-Kook OH*

* National Fisheries Research and Development Agency

** National Fisheries University of Pusan

(Received Febrary 10, 1988)

In order to investigate the shearing efficiency of the Danish sein net using in the sea area of Korea, the autors carried out a models of prototype net, and the nets on which the canvas attached to the rear part of the square and to the extension wing of the prototype net, respectively.

The model net is made of scale of 1/35 according to Tauti's Law of similarity on fishing gear.

The results obtained are as follows:

1. The hydrodynamic resistance increased the maximum 30% in case of the canvas attached to the square, and decreased the maximum 35% in case of the canvas attached to the extension wing in comparison with prototype net.
2. The height of net mouth increased the maximum 12% in case of the canvas attached to the square, and decreased the maximum 5.8% in case of the canvas attached to the extension wing in comparison with prototype net.
3. The width of net mouth decreased the maximum 4% in case of the canvas attached to the square, and increased the maximum 8.4% in case of the canvas attached to the extension wing in comparison with prototype net.
4. The projective area of net mouth increased the maximum 13.6% in case of the canvas attached to the square and increased the maximum 11.8% in case of the canvas attached to the extension wing in comparison prototype net.

緒論

외끌이 機船底引網은 트롤처럼 展開板을 사용하거나, 쌍끌이 機船底引網처럼 2척의 漁船이 漁具를 입의 시간동안 展開시켜 주는 것이 아니고 投網後 1시간 정도만 曳網하여도 날개끌이 완전히 오므라 들므로 같은 漁場에서는 트롤이나 쌍끌이 機船底引網에 비하여 漁獲性能이 떨어진다¹⁾.

외끌이 機船底引網에 대한 研究는 일본에서 HIGO²⁾ 가 漁獲性能에 대해서, FUWA · HIGO³⁾ 가 그물形成에

대해서 Suzuki⁴⁾가 후릿줄의 작용에 대해서, Suzuki⁵⁾ 가 천장망에 起因되는 揚力에 대해서 研究한 바 있으나 漁獲에 가장 큰 영향을 미치는 展開力を 증대시키는 방안에 대한 研究는 거의 없다.

따라서 본 研究에서는 우리나라 近海에서 조업하고 있는 외끌이 機船底引網 漁具를 標本調査하여 Tauti의 比較法則⁶⁾에 따라 1/35 크기의 模型그물을 제작하여, 模型實驗을 통하여 現用漁具의 展開性能을 조사함과 아울러 천장망과 깊은장에 帆布를 각각 부착하였을 때의 展開性能과 비교·분석하였다.

외끌이 機船底引網의 展開性能에 관한 模型實驗

材料 및 渔法

1. 現用의 實物漁具에 관한 調査

現用의 實物漁具의 調査는 西南區 機船底引網 水產業協同組合 산하의 외끌이 機船底引網을 대상으로

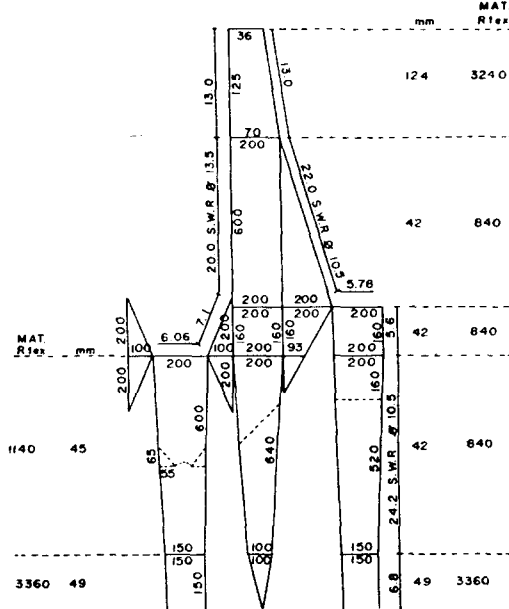


Fig.1. Developed drawing of the prototype net (80 ton, 320 HP)

Table 1. Dimension of the prototype net and the medel net

하여, 1986년 10월 10일 울산 해미진 부두에서
總屯數 80 ton 320 HP급 漁船에서 사용하고 있는
漁具를 母型으로 하였으며, 그 漁具의 구조는 Fig. 1
및 Fig. 2와 같다.

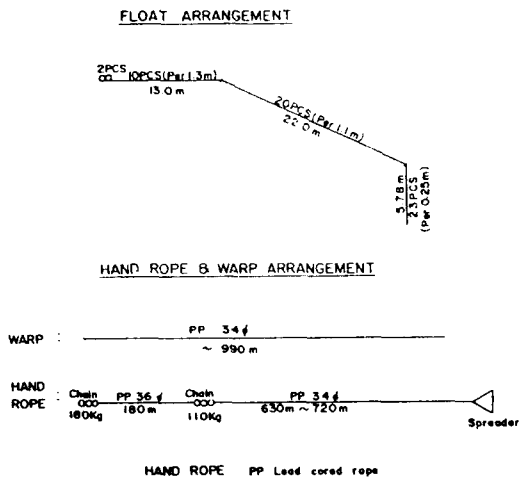


Fig. 2. Arrangement of head rope, warp and hand rope of the prototype gear.

2. 模型漁具의 製作

외글이 機船底引網은 다른 底引網漁具와 같이 그 물의 基本構造는 6매식이며, 특징으로서는 날개그물이 대단히 길어 窪은장과 날개그물로 구분되어 있고,

Table 1. Dimension of the prototype net and the model net				
Net type	Prototype net		Model net	
Item	Material	Size(mm)	Material	Size(mm)
Extension wing	P. E	2.95φ 124	Nylon	0.98φ 41.3
Wing		1.10φ 42		0.37φ 14
Baiting		1.10φ 42		0.37φ 14
Bally		1.32φ 42		0.44φ 15.3
Flapper		1.10φ 42		0.37φ 14
Cod-end		2.30φ 49		0.77φ 16.7
Head Rope	S. W. R	10.5 φ 75.78m Weight 24.2kg	Serving wire	1.10φ 2.17m Weight 8.68g
Ground Rope	S. W. R	13.5 φ 86.26m Weight 54.1kg	Serving wire	1.40φ 2.46m Weight 12.3g
Man Rope	S. W. R	10.5 φ 189m Weight 60.5kg	Serving wire	1.10φ 5.4m Weight 21.6g
Float	Plastic	11.5 φ 84pcs Buoyancy 53.9kg	Plastic	8 φ 19pcs Buoyancy 76g
Sinker			Lead	15 pcs Weight 154g
Spreader	Wooden	71 × 89 × 1350	Wooden Nylon	2.0 × 2.5 × 38 40 × 190 × 2 60 × 30 × 4

넓은장 끝에 갓대가 있다.

또한, 의끌이 機船底引網은 끝줄과 후릿 줄이 展間板의 驅集역률을 대신하고 있으므로 그 길이가 다른 底引網漁具에 비하여 대단히 길어 약 2,000m 정도에 이른다.

本研究에서는 水槽의 크기 관계로 전체 漁具의 模型을 제작할 수 없기 때문에 그물 부분만을 1/35 크기로 縮小하여 模型을 제작하였으며 模型그물의 구조는 Fig. 3과 같고, 그 규격은 Table 1과 같다.

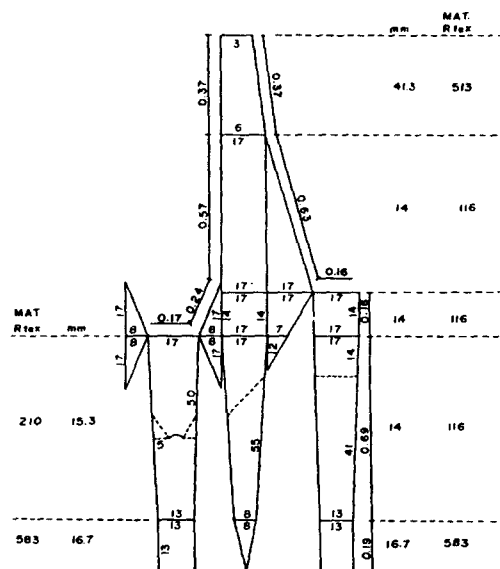


Fig. 3. Developed drawing of the model net.

$$1) \text{길이의 缩尺比: } \frac{\lambda^2}{\lambda^1} = \frac{1}{35}$$

λ^1 : 實物網의 길이

λ^2 : 模型網의 길이

2) 網目的 크기와 網系의 굵기의 比

$$\frac{d^2}{d^1} = \frac{l^2}{l^1} = 0.333$$

$$3) \text{流速의 比: } V = \sqrt{\frac{D^2(\rho^2 - 1)}{D^1(\rho^1 - 1)}} = 0.577$$

ρ^1 : 實物網의 網系의 比重

ρ^2 : 模型網의 網系의 比重

4) 로우프의 굵기의 比

$$\frac{D^2}{D^1} = \sqrt{\frac{\lambda^2(\rho^2 - 1)}{\lambda^1(\rho^1 - 1)}} \cdot V$$

$$5) \text{힘의 比: } \frac{F^2}{F^1} = \Lambda^2 V^2 = 2.4 \times 10^{-3}$$

帆布를 천장망에 볼일 때는 가로 19cm, 세로 4cm인 나일론 천 2장을 3cm 띠위서 母型그물의 천장망 뒤쪽에 볼었으며(Fig. 4), 날개그물에 볼일 때는 가로 6cm, 세로 3cm 나일론 천 2장씩을 넓은 장 뒤쪽에 6cm 띠위서 볼었다(Fig. 5).

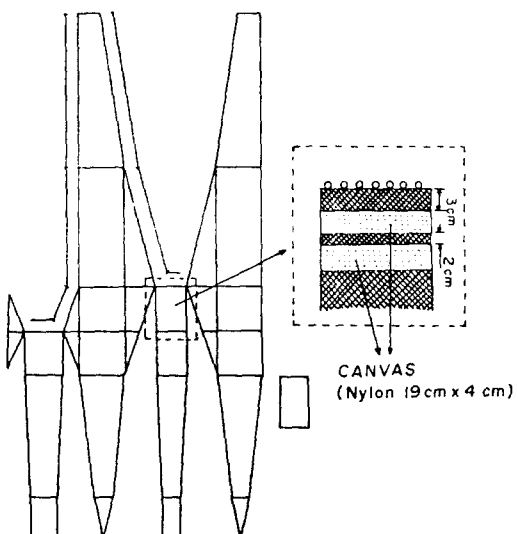


Fig. 4. Drawing shows the canvas attached to the rear part of square.

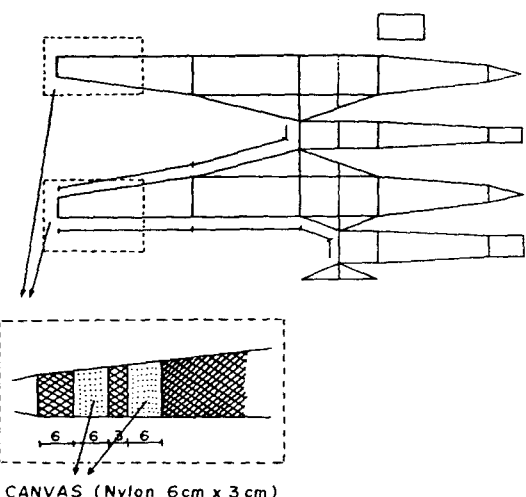


Fig. 5. Drawing shows the canvas attached to the rear part of extension wing.

3 實驗裝置 및 方法

模形實驗은 國立水產振興院 潤流水槽($4\text{m} \times 2\text{m} \times 1\text{m}$)에서 균일한 流速의 分포가 유지되도록 하면서 實驗하였고, 模形 그물의 展開狀態는 觀測槽($3\text{m} \times 1\text{m}$)을 통하여 관찰하였다.⁷⁾(Fig. 6)

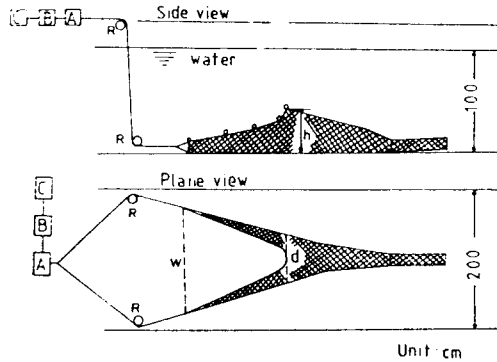


Fig. 6. Side-view and plane-view of the experimental equipment.

- | | |
|------------------------------------|--|
| A: loadcell | B: amplifier |
| C: voltmeter | R: roller |
| d: horizontal opening of net mouth | w: horizontal opening of extension wing tips |
| h: height of the net | |

의풀이 機船底引網은 投網後 시간이 경과됨에 따라 양쪽 窄의 展開間隔이 줄어들므로 本研究에서는 水槽의 크기를 고려하여 양쪽 窄의 展開間隔을 0.3m , 0.6m , 0.9m , 1.2m , 1.5m 의 5단계로 구분하여 實驗하였다.

流速은 0.4m/sec 에서 0.9m/sec 까지 0.1m/sec 의 6단계로 조정하여 CM-IB 형 직독식 유속계를 사용해서 측정하였다.

流體底抗은 용량 5kg 인 로드셀(load cell)을 사용하여 증폭기(amplifier)를 걸쳐서 디지털식 Voltmeter로 측정하였다.

實驗 전에는 반드시 流速과 底抗에 대한 검증을 하였으며, 도르래는 베어링이 들어있는 직경 9cm 인 것을 사용하였고, 도르래의 마찰은 거의 무시할 정도로 작았다.

網高는 水槽의 觀測槽에 cm 눈금의 막대자를 부착하여 발출에서 천장망에 이르는 직선거리를 측정하였다.

網幅은 길이 60cm 의 PVC 원통에 수조바닥을 잘 볼 수 있도록 직경 10cm 인 투명유리를 부착하여 수조바닥에 새겨진 눈금으로서 측정하였다.

實驗은 模形그물, 模形그물의 천장망에 帆布를 부착한 그물, 천장망의 帆布를 제거하고 窄에 帆布를 부착한 그물의 순으로 행하였다.

實驗에서 얻어진 資料는 模形實驗을 기준으로 하여 實物 그물의 수치로 환산하여 처리하였다.

網口投影面積의 계산은 網口를 타원으로 가정하여 계산하였다.⁸⁾

結果 및 考察

1. 流體底抗

流體底抗은 Fig. 7에 나타낸 바와 같이 어느 경우나 流速이 빨라질수록 증가하였다.

母型그물의 流體底抗은 流速이 빨라질수록 窄의 展開間隔이 커질수록 거의 직선적으로 증가하였다.

또한, 천장망에 帆布를 부착한 그물에서는 母型그물에서 보다 流速이 1.65m/sec , 窄의 展開間隔이 52.5m 일 때 流速底抗은 최대 30% 정도 커졌다.

窄에 帆布를 부착한 그물에서는 母型그물에서 보다 流速이 1.56m/sec , 窄의 展開間隔이 52.5m 일 때 流體底抗이 최대 35% 정도 커졌다.

이 경우 窄 끝의 展開間隔이 10.5m , 21.0m 로 작을 때는 천장망에 帆布를 부착한 그물과 流速底抗이 비슷하였으나, 展開間隔이 31.5m 부터는 증가하였다. 여기서 窄 끝의 展開間隔이 작을 때 流體底抗이 천장망에 帆布를 부착한 그물과 반은장에 帆布를 부착한 그물과 비슷한 이유는 천장망에 부착한 帆布가 받는 流體底抗에 窄에 부착한 帆布가 받는 流體底抗이 비슷하기 때문이라고 생각된다. 窄 끝의 展開間隔이 클수록 窄에 帆布를 부착한 그물보다 流體底抗이 커지는 이유는 窄 끝의 展開間隔이 클수록 물의 흐름에 대해 帆布가 받는 면적이 커지기 때문이라고 생각된다.

流體底抗은 일반적으로 $R = kV^n$ 라는 관계가 있으나 고하는 바에 實驗結果로부터 展開間隔에 따른 k 값과 n 값을 구하여 보면 Table 2와 같다. 여기서 k 는 流體底抗의 式 $R = A \frac{d}{l} ab\rho sv^n$ 에 있어서 $A \frac{d}{l} ab\rho$ 에 해당하는 것으로서 網系의 高さ(d), 網目的 크기(l), 流體密度(ρ), 그물의 면적(a) 및 면적(b)에 따라 정해지는 比例常數이고 n 값은 2에 가까운 값으로 曲線速度에 따른 網의 變形에 따라 달라진다.

n 값은 Table 2에 나타낸 바와 같이 母型그물에서

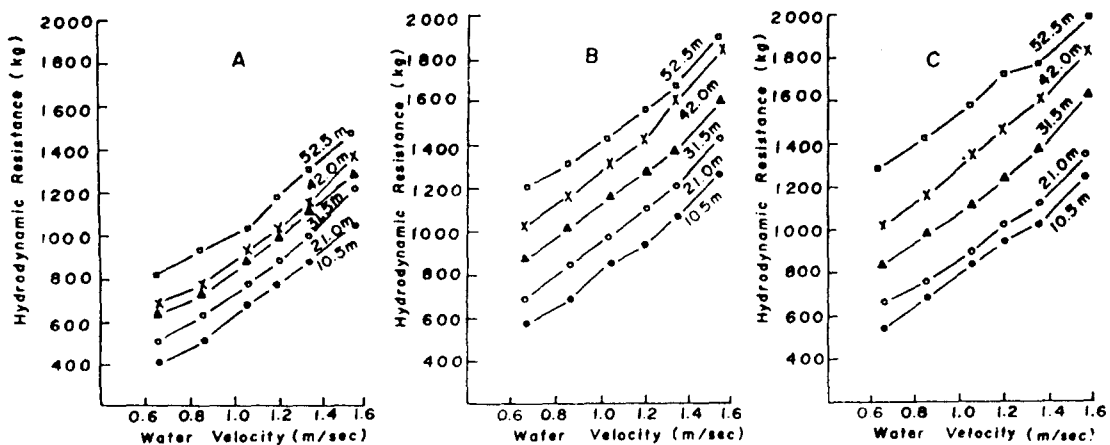


Fig. 7. Relationship between the water velocity and the hydrodynamic resistance.

A: The prototype net.

B: The net attached the canvas on the rear part of the square.

C: The net attached the canvas on the part of the extension wing 10.5 m, 21.0 m, 31.5 m, 42.0 m, and 52.5 m denote the width of extension wing tips

Table 2. Values of K and N in the equation of resistance

Net type Item	Width of extensionwing tips(m)				
	10.5	21.0	31.5	42.0	52.0
A	K	0.84	0.97	1.08	1.13
	N	1.94	1.76	1.47	1.37
B	K	1.05	1.20	1.39	1.61
	N	1.58	1.42	1.23	1.39
C	K	1.01	1.12	1.37	1.58
	N	1.24	1.45	1.34	1.16

A: The prototype net.

B: The net attached the canvas on the rear part of the square.

C: The net attached the canvas on the rear part of the extension wing.

는 1.18~1.94였고, 천장망에帆布를 부착한 그물에서는 0.83~1.58이었으며, 양쪽 넓은장 뒤쪽에帆布를 부착한 그물에서는 0.87~1.45였다.

k 값과 Table 2에 나타낸 바와 같이母型그물에서는 0.84~1.25였고, 천장망에帆布를 부착한 그물에서는 1.05~1.67이었으며, 양쪽 넓은장 뒤쪽에帆布를 부착한 그물에서는 1.01~1.78였다.

2. 網 高

網高는 Fig. 8에 나타낸 바와 같이流速이 빨라질수록 넓은장의展開間隔이 커질수록 작아지는 경향

이 있었다.

現用그물의展開性能을파악하고자노르웨이Scandmer社漁具計測裝置를 사용하여 1986년 12월 26일~27일 양일간 조업선 제5동아호에서 측정한網高는 4.1m~9.2m였는데, 模型그물의實驗結果를 實物그물로환산하면 3.4m~6.1m였다.

網高는流速이 0.7m/sec, 넓은장 끝의展開間隔이 0.5m일 때 천장망에帆布를부착한 그물에서는母型그물에서보다최대 12%정도컸고, 넓은장에帆布를부착한 그물에서는母型그물에서보다최대 5.8%정도작았다.

그러므로 천장망에帆布를부착한 그물은母型그물에비해網高가높아지므로游泳性漁族의漁獲을높일수있으리라예상된다.

3. 網 幅

網幅은Fig. 9에나타낸바와같이넓은장 끝의展開間隔에절대적인영향을받고있으므로展開間隔에따라크게좌우되었다.

流速이 1.56m/sec, 넓은장 끝의展開間隔이 52.5m일 때母型그물의網幅은최대로 15.4m이고, 流速이 0.7m/sec, 넓은장 끝의展開間隔이 10.5m일 때최소로 4.8m였다.

천장망에帆布를부착한 그물에서는母型그물보다網高가증가한반면, 網幅은母型그물에서보다최대 4%정도작았고, 넓은장에帆布를부착한 그물에서는母型그물에서보다8.6%정도컸다.

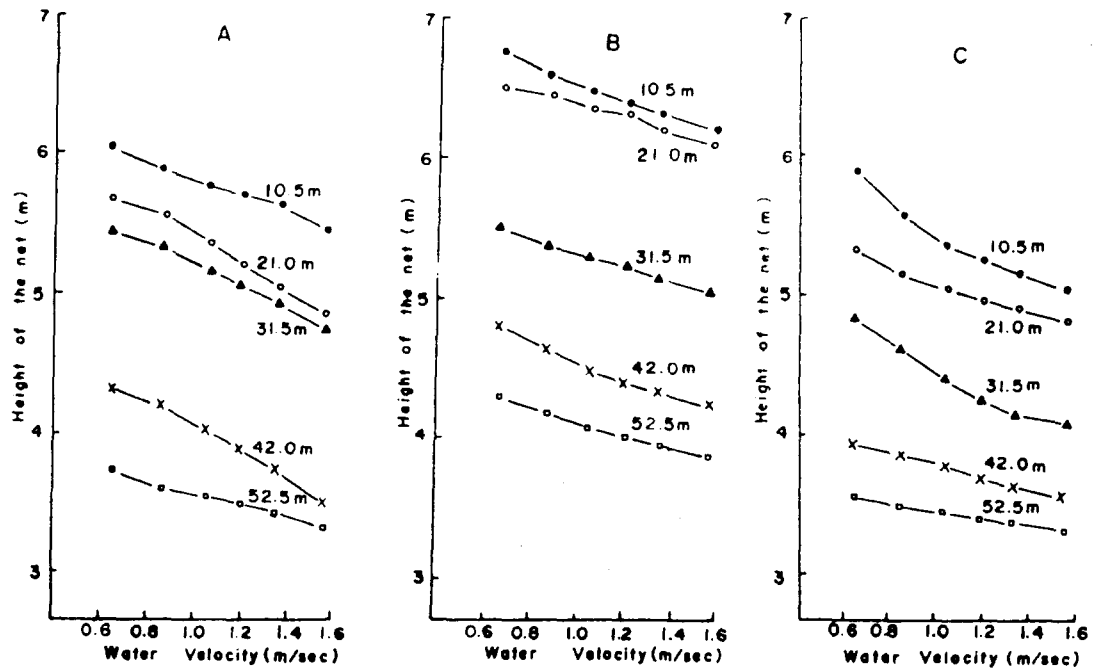


Fig. 8. Relationship between the water velocity and the height of net mouth.
 A: The prototype net. B: The attached the canvas on the rear part of the square.
 C: The net attached the canvas on the rear part of the extension wing.
 10.5 m, 21.0 m, 31.5 m, 42.0 m, and 52.5 m denote the width of extension wing tips.

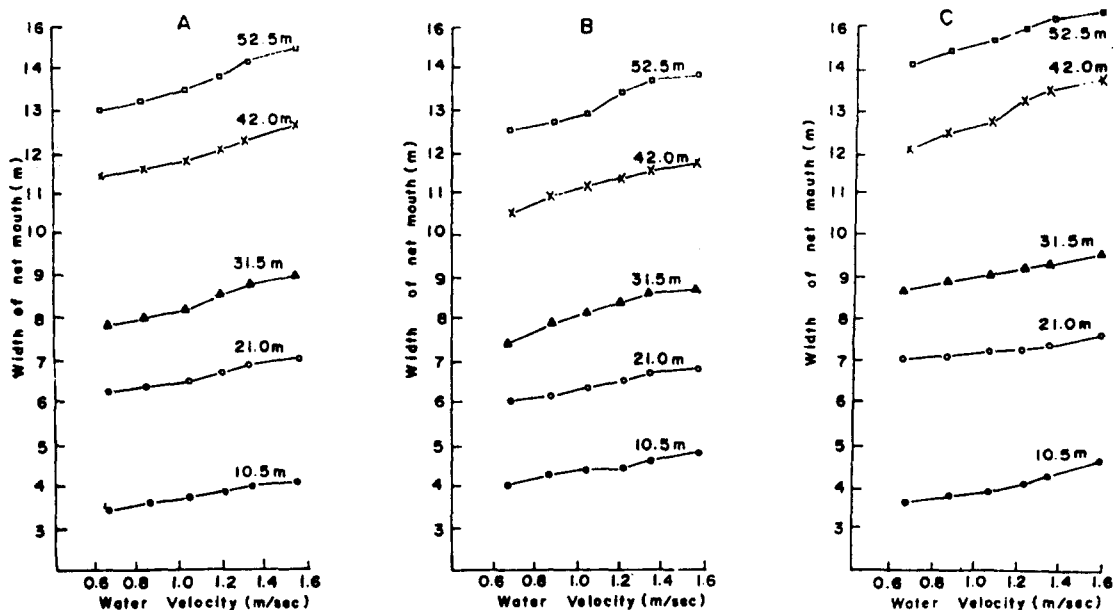


Fig. 9. Relationship between the water velocity and the width of net mouth.
 A: The prototype net. B: The net attached canvas on the rear part of the square.
 C: The net attached canvas on the part of the extension wing.
 10.5 m, 21.0 m, 31.5 m, 42.0 m and 52.5 m denote the width of extension wing tips.

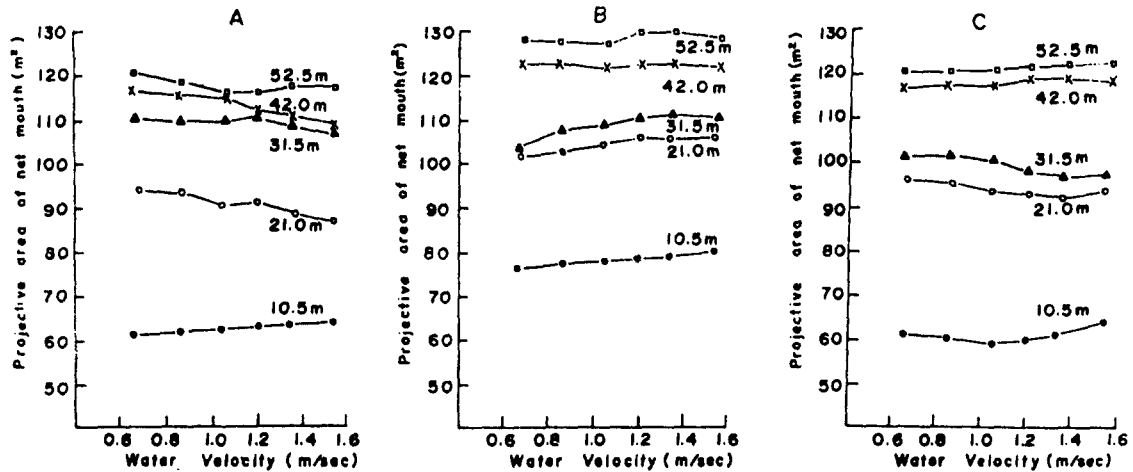


Fig. 10. Relationship between the water velocity and the projective area of net mouth.

A: The prototype net. B: The net attached the canvas on the rear part of the square.

C: The net attached the canvas on the rear part of the extension wing.

10.5m, 21.0m, 31.5m, 42.0m and 52.5m denote the width of extension wing tips.

그러므로 穎은장에 帆布를 부착한 그물은 網幅이 더 커지므로 底着性漁族의 漁獲을 높일 수 있으리라 예상된다.

4. 網口投影面積

網口投影面積은 Fig. 10에 나타낸 바와 같이 展開間隔이 증가하였으나 流速에 따른 變化도 거의 없거나, 불규칙하게 변하였다. 천장망에 帆布를 부착한 그물에서는 母型그물보다는 展開間隔이 커짐에 따라 전반적으로 증가하여 網口投影面積이 최대 13.6% 정도 증가하였다.

엷은장에 帆布를 부착한 그물에서 展開間隔이 10.5m, 31.5m 일 때는 網口投影面積이 감소하였으나, 21.0m, 42.0m, 52.5m 일 때는 網口投影面積이 최대 11.8% 정도 증가하였다.

따라서 游泳性漁族을 漁獲하고자 천장망에 帆布를 부착한 그물에서는 網高뿐만 아니라 網口投影面積도 증가하므로 游泳性漁族을 漁獲하는데 어느 정도 효과를 기대할 수 있으리라 생각된다. 底着性漁族을 漁獲하고자 穎은장에 帆布를 부착한 그물에서는 網幅은 증가하였으나, 網口投影面積은 展開間隔에 따라 증가하거나 감소하는 현상을 나타냈는데, 이것은 投網初期에 穎은장 끝의 展開間隔이 커졌을 때는 網幅의 증가뿐만 아니라, 網口投影面積도 증가하므로 投網初期에는 어느정도 底着性漁族의 漁獲을 높일 수 있으리라 예상된다.

要 約

실제로 漁船에서 사용하고 있는 외끌이 機船底引網漁具를 標本 調査하여 Tauti의 比較法測에 따라 1/35 크기로 縮小하여 제작한 그물과 이 그물漁具의 천장망과 穎은장에 帆布를 부착한 模型그물을 써서 流速의 변화와 穎은장 끝의 展開間隔의 변화에 따른 流體底抗, 網高 및 網幅을 측정한 결과를 요약하면 다음과 같다.

1. 流體底抗은 母型그물에 비해 천장망에 帆布를 부착한 그물에서 최대 30% 증가하였고, 穎은장에 帆布를 부착한 그물에서 35% 증가하였다.
2. 網高는 母型그물에 비해 천장망에 帆布를 부착한 그물에서 최대 12% 증가하였고, 穎은장에 帆布를 부착한 그물에서 최대 5.8% 감소하였다.
3. 網幅은 母型그물에 비해 천장망에 帆布를 부착한 그물에서 최대 4% 감소하였고, 穎은장에 帆布를 부착한 그물에서 최대 8.4% 증가하였다.
4. 網口投影面積은 母型그물에 비해 천장망에 帆布를 부착한 그물에서 최대 13.6% 증가하였고, 穎은장에 帆布를 부착한 그물에서 최대 11.8% 증가하였다.

參 考 文 獻

1. 李秉鎬·朴丞源·金鎮乾(1985) : 沿近海漁業概論. 太和出版社, 246—299.

외 끝이] 機船底引網의 展開性能에 관한 模形實驗

2. 肥後伸夫(1966) : 機船底引網の漁具と漁獲性能に関する研究-I. 日水誌 32(2), 130-136.
3. 不破茂・肥後伸夫(1973) : 底曳の網網成りに関する研究. 鹿大水紀要 23, 35-43.
4. O. Suzuki(1963): Behaviour of Sweep line in Danish Seining-I. Bull. Japan. Soc. Sci. Fish. 29(12), 1071-0076.
5. 不破茂(1983) : 底曳網の天井網に起因する揚力について. 鹿大水紀要 32, 245-251.
6. Tauti. M(1934): A relation between experiment on model and full scale of fishing nets. Bull. Japan. Soc. Sci. Fish. 3(4), 171-177.
7. 尹甲東(1977) : 潮流水槽의 特性. 어업기술, 13 (2), 9-14.
8. Mori, K., N. Higo and M. Gotoh(1976) On an Approximation Equation Applicable to the Designing of Trawl Net-I, Mem. Fac. Fish., Kagoshima Univ 25(1), 107-115.
9. 谷口武夫(1961) : 二曳機船底引網の模型實驗-II. 農水講研報 17, 1-13.
10. _____(1964): Behaviour of Sweep line in Danish Seining-I. Bull. Japan. Soc. Sci. Fish. 30(1), 21-28.
11. _____(1965): Behaviour of Sweep line in with Heavy Ball. Bull. Japan. Soc. Sci. Fish. 31(6), 403-408.
12. _____(1965): Behaviour of Chain fitted Sweep line in pairtrawling. Bull. Japan. Soc. Sci. Fish. 31(6), 409-413.
13. 肥後伸夫(1971) : 底曳網の漁獲性能に関する研究. 鹿大水紀要 20(2), 1-30.
14. 肥後伸夫・徳永喜郎・田中健悟(1973) : 底曳網の研究-II. 日水誌 22(1), 147-155.
15. 不破茂(1978) : 底曳網の網類にかかる張力についての考察. 鹿大水紀要 27(1), 147-156.
16. _____(1979) : 底曳網の網高についての考察. 鹿大水紀要 28, 73-89.
17. 高冠瑞・金龍海(1979) : 鮫鯨網 漁具의 模型實驗. 韓水誌 12(4), 201-207.
18. 李珠熙(1983) : 銀子沖合中型トロール網模型實驗について. 北大水產彙報 39(4), 334-344.
19. 金大安・高冠瑞(1985) : 漁具學. 教文出版社, 245-251.
20. 李秉鎬(1985) : 現代巨量漁法. 太和出版社, 61-63.
21. 李珠熙(1987) : 중형 외 끝이] 機船底引網의 漁具改良을 위한 기초연구. 서남구 機船底引網 水協報告, 1-8.